

第七章 带电粒子和电磁场的相互作用

- (1) 已知粒子运动求电磁场
- (2) 粒子激发电磁场对粒子的反作用
- (3) 粒子与外电磁场的相互作用



§ 1 运动带电粒子的势和辐射电磁场

1. 任意运动带电粒子的势

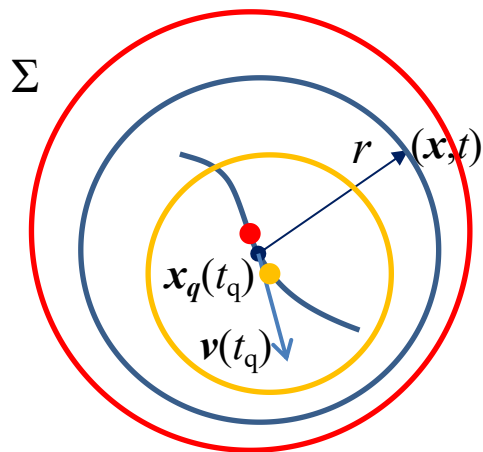


图1. 电荷运动轨迹 \mathbf{x}_q 和场点 (\mathbf{x}, t) .

红圈、蓝圈、黄圈分别表示电荷在红点、蓝点、黄点激发的电磁场在 t 时刻所到达的球面. 三个球面不可能有交点。

电荷在 t_q 激发的电磁场局限在以 $\mathbf{x}_q(t_q)$ 为圆心、以光速扩张的无穷薄球面上

$$r \equiv |\mathbf{x} - \mathbf{x}_q(t_q)| = c(t - t_q)$$

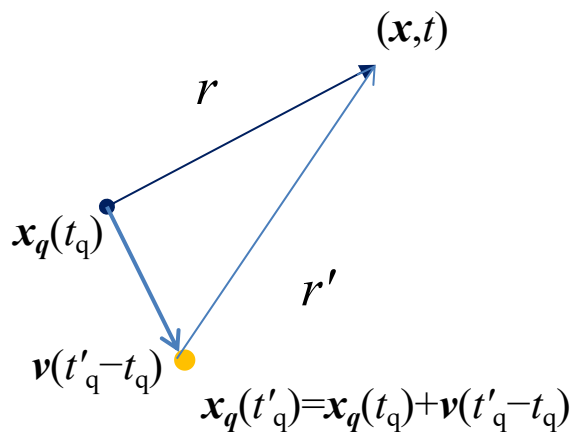


因为光速与发光电荷的运动无关，而电荷的速度小于光速，所以三个球面不可能有交点，即对给定的 \mathbf{x} 和 t 只有唯一的 t_q 满足下式

$$|\mathbf{x} - \mathbf{x}_q(t_q)| = c(t - t_q) \quad (1)$$

证明：设 $r = c(t - t_q)$, $r' = |\mathbf{x} - \mathbf{x}_q(t'_q)|$, $t'_q > t_q$.

Σ



因为三角形两边和大于第三边，

$$r' + v(t'_q - t_q) > r = c(t - t_q)$$

所以

$$\begin{aligned} r' &> c(t - t_q) - v(t'_q - t_q) \\ &= c(t - t'_q) + (c - v)(t'_q - t_q) \\ &> c(t - t'_q) \end{aligned}$$

所以， $\mathbf{x}_q(t'_q)$ 发出的电磁波不可能在 t 时刻达到 \mathbf{x} 点。



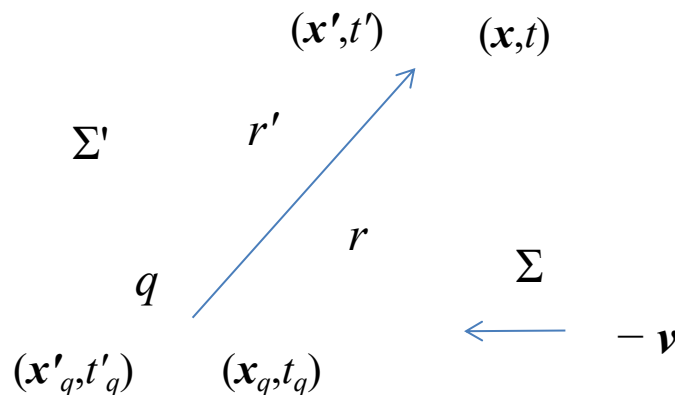
场方程

$$(\partial_\nu \partial^\nu) A^\mu - \partial^\mu (\partial_\nu A^\nu) = -\mu_0 j^\mu$$

带电物质仅通过四维电流密度与电磁势发生相互作用，所以带电物质激发的电磁势与电荷加速度无关。从而在电荷**瞬时**静止的惯性系 Σ' 中，电磁势等于静电荷激发的静电势（已取无穷远处为零的边界条件）

$$A'_a(r') = \left(0, 0, 0, \frac{i}{c} \frac{q}{4\pi\epsilon_0 r'} \right) \quad (2)$$

q 可以有加速度



注意： $r' \neq r$



设在实验室惯性系 Σ 的 t_q 时刻电荷具有瞬时速度 $\mathbf{v}(t_q)$, 则 Σ 相对 Σ' 以速度 $-\mathbf{v}(t_q)$ 运动. 不妨设运动沿 X 轴方向. 由典型洛伦兹变换得 Σ 系中的电磁势

$$\begin{pmatrix} A^1 \\ A^2 \\ A^3 \\ \frac{i}{c}\varphi \end{pmatrix} = \begin{pmatrix} \gamma & 0 & 0 & -\frac{iv}{c}\gamma \\ 0 & 1 & 0 & 0 \\ 0 & 0 & 1 & 0 \\ \frac{iv}{c}\gamma & 0 & 0 & \gamma \end{pmatrix} \begin{pmatrix} 0 \\ 0 \\ 0 \\ \frac{i}{c} \frac{q}{4\pi\epsilon_0 r'} \end{pmatrix} = \gamma(v) \begin{pmatrix} \frac{qv}{4\pi\epsilon_0 c^2 r'} \\ 0 \\ 0 \\ \frac{i}{c} \frac{q}{4\pi\epsilon_0 r'} \end{pmatrix} \quad (3)$$

其中 $v = v(t_q)$, 和 $\gamma(v) = \frac{1}{\sqrt{1 - v^2(t_q)/c^2}}$

$$t' - t'_q = \frac{t - t_q - \frac{v}{c^2}(x^1 - x_q^1)}{\sqrt{1 - (v/c)^2}}$$



根据光速不变原理，在 Σ' 系源点与场点的距离

$$r' = c(t' - t'_q) = \frac{c(t - t_q) - \frac{1}{c} \mathbf{v}(\mathbf{x}^1 - \mathbf{x}_q^1)}{\sqrt{1 - \mathbf{v}^2 / c^2}} = \frac{r - \frac{1}{c} \mathbf{v}(\mathbf{x}^1 - \mathbf{x}_q^1)}{\sqrt{1 - \mathbf{v}^2 / c^2}}$$

通过空间转动，可以从电荷沿 X 轴运动的结果得到电荷任意运动的结果。

存在空间转动三维正交矩阵 \hat{O} ， $\hat{O}\hat{O}^T = \hat{O}^T\hat{O} = I$ ，使得

$$\begin{pmatrix} v^1 \\ v^2 \\ v^3 \end{pmatrix} \xrightarrow{\hat{O}} \begin{pmatrix} v''^1 \\ 0 \\ 0 \end{pmatrix} = \hat{O} \begin{pmatrix} v^1 \\ v^2 \\ v^3 \end{pmatrix}, \quad \begin{pmatrix} x^1 - x_q^1 \\ x^2 - x_q^2 \\ x^3 - x_q^3 \end{pmatrix} \xrightarrow{\hat{O}} \begin{pmatrix} x''^1 - x_q''^1 \\ 0 \\ 0 \end{pmatrix} = \hat{O} \begin{pmatrix} x^1 - x_q^1 \\ x^2 - x_q^2 \\ x^3 - x_q^3 \end{pmatrix}$$

从而

$$r' = \frac{r - \frac{1}{c} \mathbf{v}''^1 (x''^1 - x_q''^1)}{\sqrt{1 - \mathbf{v}^2 / c^2}} = \frac{r - \frac{1}{c} \mathbf{v}^T \hat{O}^T \hat{O} \mathbf{r}}{\sqrt{1 - \mathbf{v}^2 / c^2}} = \frac{r - \frac{1}{c} \mathbf{v}^T \mathbf{r}}{\sqrt{1 - \mathbf{v}^2 / c^2}} = \frac{r - \frac{1}{c} \mathbf{v} \cdot \mathbf{r}}{\sqrt{1 - \mathbf{v}^2 / c^2}} \quad (4)$$

其中 $\mathbf{r} = \mathbf{x} - \mathbf{x}_q$ 和 $r = \sqrt{(\mathbf{r} \cdot \mathbf{r})} = c(t - t_q)$ 。右边表达式在空间坐标转动下不变，因此它对任意选取的笛卡尔坐标架普遍地成立。



同理可以通过空间转动，从电荷瞬时沿 X 轴运动的结果(3)式和(4)得到任意运动电荷辐射的电磁势。

李纳-维谢尔势

$$\mathbf{A} = \frac{q\mathbf{v}}{4\pi\epsilon_0 c^2 (r - \frac{1}{c}\mathbf{v} \cdot \mathbf{r})} \quad (5a)$$

$$\varphi = \frac{q}{4\pi\epsilon_0 (r - \frac{1}{c}\mathbf{v} \cdot \mathbf{r})} \quad (5b)$$

复杂性包含在 \mathbf{v} 和 \mathbf{r} 中，他们均依赖于 t_q ，而后者是 \mathbf{x} 和 t 的隐函数。所以求 \mathbf{E} 和 \mathbf{B} 时涉及隐函数求导。



2. 连续分布带电体的势(推迟势)

考虑带电粒子集合 $\{q_n | n=1,2,3...\}$, q_n 的轨迹为 $\mathbf{x}_n(t')$. 记 $\mathbf{r}_n(t') = \mathbf{x} - \mathbf{x}_n(t')$.

$$r_n \frac{\partial r_n}{\partial t'} = -\frac{d\mathbf{x}_n}{dt'} \cdot \mathbf{r}_n = -\mathbf{v}_n(t') \cdot \mathbf{r}_n, \quad (\text{给定 } \mathbf{x} \text{ 和 } t)$$

$$r_n - \frac{1}{c} \mathbf{v}_n \cdot \mathbf{r}_n = r_n + r_n \frac{\partial r_n}{\partial t'} = r_n \frac{\partial}{\partial t'} (t' - t + \frac{1}{c} r_n) \quad (6)$$

设 q_n 在 t_n 时刻发射的电磁波在 t 时刻达到场点 \mathbf{x} 即 $\mathbf{r}_n(t_n) = c(t - t_n)$.

可利用(6)式把 q_n 激发的李纳-维谢尔矢势写成

$$\mathbf{A}_n(\mathbf{x}, t) = \frac{q_n \mathbf{v}_n(t_n)}{4\pi\epsilon_0 c^2 (r_n - \frac{1}{c} \mathbf{v}_n(t_n) \cdot \mathbf{r}_n)} = \frac{q_n \mathbf{v}_n(t_n)}{4\pi\epsilon_0 c^2 r_n \frac{\partial}{\partial t_n} (t_n - t + \frac{1}{c} r_n(t_n))} \quad (7)$$

为了方便对 n 求和, 改写(7)式 (目的是消去分母对 n 的依赖),

$$\mathbf{A}_n(\mathbf{x}, t) = \int dV' \int dt' \frac{\delta(t' - t_n)}{\frac{\partial}{\partial t_n} (t_n - t + \frac{1}{c} r_n(t_n))} \frac{\delta(\mathbf{x}' - \mathbf{x}_n(t')) q_n \mathbf{v}_n(t')}{4\pi\epsilon_0 c^2 |\mathbf{x} - \mathbf{x}'|} \quad (8)$$



记: $f(t')=t'-t+r_n(t')/c$

因为 $r_n(t_n)=c(t-t_n)$, 所以 $f(t_n)=0$, 即 t_n 的是方程 $f(t')=0$ 的根, 而且前面已经分析过, 这个根是唯一的。从而

$$\delta(f(t')) = \delta\left(\left.\frac{\partial f(t')}{\partial t'}\right|_{t'=t_n} (t' - t_n)\right) = \frac{1}{\left.\frac{\partial f(t')}{\partial t'}\right|_{t'=t_n}} \delta(t' - t_n) \quad (9)$$

利用(9)式并记 $r=|\mathbf{x}-\mathbf{x}'|$, (8)式写成

$$\begin{aligned} A_n &= \int dV' \int dt' \delta(t' - t + \frac{1}{c} r_n(t')) \frac{\delta(\mathbf{x}' - \mathbf{x}_n(t')) q_n \mathbf{v}_n(t')}{4\pi\epsilon_0 c^2 |\mathbf{x} - \mathbf{x}'|} \\ &= \int dV' \int dt' \delta(t' - t + \frac{1}{c} |\mathbf{x} - \mathbf{x}'|) \frac{\delta(\mathbf{x}' - \mathbf{x}_n(t')) q_n \mathbf{v}_n(t')}{4\pi\epsilon_0 c^2 |\mathbf{x} - \mathbf{x}'|} \\ &= \int dV' \frac{\delta(\mathbf{x}' - \mathbf{x}_n(t - \frac{1}{c} r)) q_n \mathbf{v}_n(t - \frac{1}{c} r)}{4\pi\epsilon_0 c^2 r} \end{aligned} \quad (10)$$



回忆电流密度

$$\mathbf{J}(\mathbf{x}, t) = \sum_n q_n \delta(\mathbf{x} - \mathbf{x}_n(t)) \mathbf{v}_n(t) \quad (11)$$

从而总矢势

$$\mathbf{A}(\mathbf{x}, t) = \sum_n \mathbf{A}_n = \int dV' \frac{\mathbf{J}(\mathbf{x}', t - \frac{1}{c}r)}{4\pi\epsilon_0 c^2 r} \quad (12)$$

类似可得标势

$$\varphi(\mathbf{x}, t) = \int dV' \frac{\rho(\mathbf{x}', t - \frac{1}{c}r)}{4\pi\epsilon_0 r} \quad (13)$$

公式(12)和(13)式正是**推迟势公式**，它们也可以在罗伦芝规范条件下直接从麦克斯韦方程方程组推导出来. 推迟势反映了真空中光信号传播速度恒等于c.



3. 辐射电磁场

数学准备。记

$$s \equiv r - \frac{1}{c} \mathbf{v} \cdot \mathbf{r} \quad (14)$$

则(4)式给出

$$r' = \gamma(v)s \quad (15)$$

对给定的 \mathbf{x} 和 t , t_q 唯一, 故存在单值函数 $t_q = t_q(\mathbf{x}, t)$. 可证下面偏导数([附录1](#)),

$$\frac{\partial t_q}{\partial t} = \frac{r}{s}, \quad \frac{\partial \mathbf{r}}{\partial t} \Big|_x = -\frac{r}{s} \mathbf{v}, \quad \frac{\partial \mathbf{r}}{\partial t} \Big|_x = -\frac{\mathbf{r} \cdot \mathbf{v}}{s}, \quad (16a)$$

$$\frac{\partial t_q}{\partial x^j} = -\frac{r^j}{cs}, \quad \frac{\partial \mathbf{r}}{\partial x^j} \Big|_t = \hat{\mathbf{e}}_j + \frac{r^j}{cs} \mathbf{v}, \quad \frac{\partial \mathbf{r}}{\partial x^j} \Big|_t = \frac{r^j}{s} \quad (16b)$$



利用上述数学关系式，计算李纳-维谢尔势对应的场强，可得([附录2](#)，3)

$$\mathbf{E} = -\nabla\varphi - \frac{\partial\mathbf{A}}{\partial t} = \mathbf{E}_c + \mathbf{E}_{rad}, \quad \mathbf{B} = \nabla \times \mathbf{A} = \mathbf{B}_c + \mathbf{B}_{rad} \quad (17)$$

非辐射场（最右表达式作了低速近似）

$$\mathbf{E}_c = \frac{q}{4\pi\epsilon_0 r^2} \frac{\hat{\mathbf{e}}_r - \frac{1}{c}\mathbf{v}}{(1 - \frac{1}{c}\mathbf{v} \cdot \hat{\mathbf{e}}_r)^3 \gamma^2} \sim \frac{q}{4\pi\epsilon_0 r^2} \hat{\mathbf{e}}_r \quad (18)$$

$$\mathbf{B}_c = \frac{q}{4\pi\epsilon_0 c^2 r^2} \frac{(1 - \frac{v^2}{c^2})\mathbf{v} \times \hat{\mathbf{e}}_r}{(1 - \frac{1}{c}\mathbf{v} \cdot \hat{\mathbf{e}}_r)^3} \sim \frac{q}{4\pi\epsilon_0 c^2 r^2} \mathbf{v} \times \hat{\mathbf{e}}_r \quad (19)$$

辐射场（最右表达式作了低速近似）

$$\mathbf{E}_{rad} = \frac{q}{4\pi\epsilon_0 c^2 r} \frac{\hat{\mathbf{e}}_r \times [(\hat{\mathbf{e}}_r - \frac{1}{c}\mathbf{v}) \times \dot{\mathbf{v}}]}{(1 - \frac{1}{c}\mathbf{v} \cdot \hat{\mathbf{e}}_r)^3} \sim \frac{q}{4\pi\epsilon_0 c^2 r} \hat{\mathbf{e}}_r \times (\hat{\mathbf{e}}_r \times \dot{\mathbf{v}}) \quad (20)$$

$$\mathbf{B}_{rad} = \frac{q}{4\pi\epsilon_0 c^3 r} \frac{\dot{\mathbf{v}} \times \hat{\mathbf{e}}_r + \frac{1}{c}[(\dot{\mathbf{v}} \cdot \hat{\mathbf{e}}_r)(\mathbf{v} \times \hat{\mathbf{e}}_r) - (\mathbf{v} \cdot \hat{\mathbf{e}}_r)(\dot{\mathbf{v}} \times \hat{\mathbf{e}}_r)]}{(1 - \frac{1}{c}\mathbf{v} \cdot \hat{\mathbf{e}}_r)^3} = \frac{1}{c} \hat{\mathbf{e}}_r \times \mathbf{E}_{rad} \sim \frac{q}{4\pi\epsilon_0 c^3 r} \dot{\mathbf{v}} \times \hat{\mathbf{e}}_r \quad (21)$$



辐射场的特点:

辐射场强以 $1/r$ 衰减, 而非辐射场强以 $1/r^2$ 衰减.

与 $|\dot{\mathbf{v}}|$ 成正比

\mathbf{E}_{rad} 和 \mathbf{B}_{rad} 互相正交并分别与 \mathbf{r} 正交 (横场。在自由空间的情形)

可直接验证

$$\mathbf{B}_{rad} = \frac{1}{c} \hat{\mathbf{e}}_r \times \mathbf{E}_{rad} \quad (22)$$

§ 2 高速运动带电粒子的辐射

1. 高速运动带电粒子的辐射功率和角分布

辐射场的能量密度

$$\mathbf{S} = \mathbf{E} \times \mathbf{H} = \frac{1}{\mu_0} \mathbf{E} \times \mathbf{B} = \frac{1}{\mu_0 c} \mathbf{E} \times (\hat{\mathbf{e}}_r \times \mathbf{E}) = \varepsilon_0 c E^2 \hat{\mathbf{e}}_r \quad (23)$$

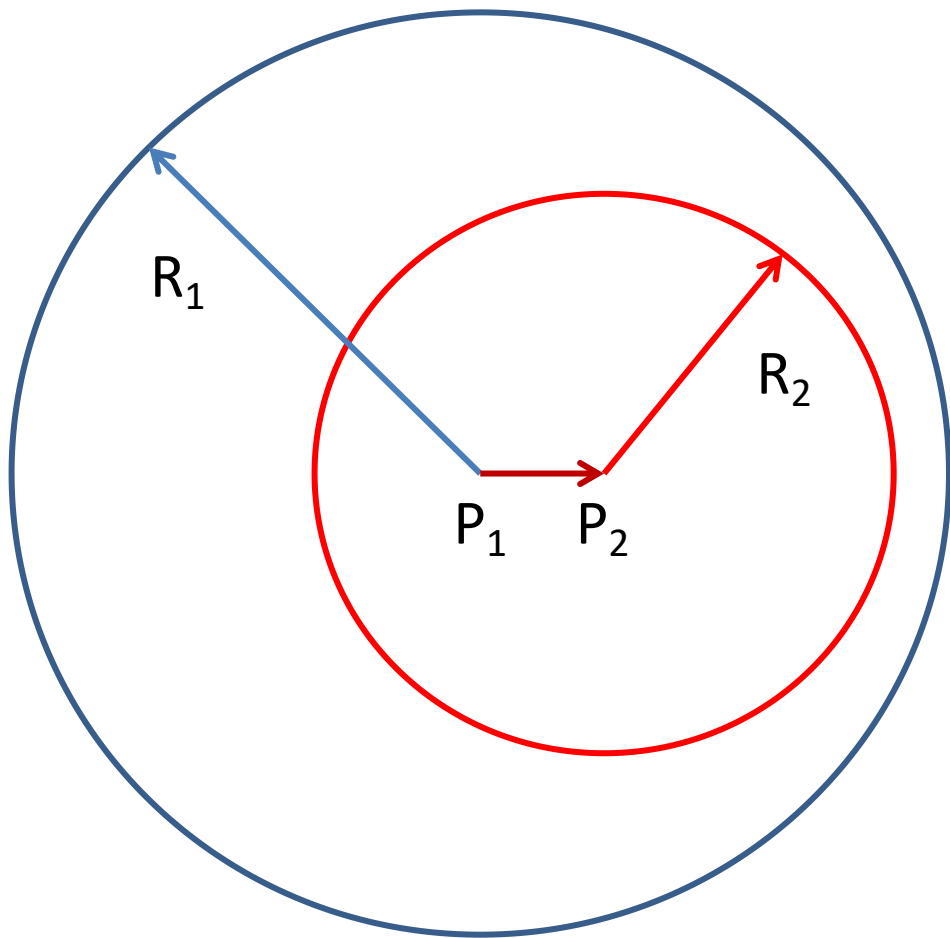
辐射场

$$\mathbf{E} = \frac{q}{4\pi\varepsilon_0 c^2 r} \frac{\hat{\mathbf{e}}_r \times [(\hat{\mathbf{e}}_r - \frac{1}{c} \mathbf{v}) \times \dot{\mathbf{v}}]}{(1 - \frac{1}{c} \mathbf{v} \cdot \hat{\mathbf{e}}_r)^3} \quad (24)$$

故 t 时刻 \mathbf{x} 处 (场点)

$$\mathbf{S} = \frac{q^2}{16\pi^2 \varepsilon_0 c^3 r^2} \frac{|\hat{\mathbf{e}}_r \times [(\hat{\mathbf{e}}_r - \frac{1}{c} \mathbf{v}) \times \dot{\mathbf{v}}]|^2}{(1 - \frac{1}{c} \mathbf{v} \cdot \hat{\mathbf{e}}_r)^6} \hat{\mathbf{e}}_r \quad (25)$$

在源点附近 \mathbf{S} 很复杂, 所以一般不在源点附近求辐射功率.



P_1 : 电荷在 t' 时刻所在位置

P_2 : 电荷在 $t'+dt'$ 时刻所在位置

在时刻 t , P_1 处发出的辐射达到半径为 R_1 的球面

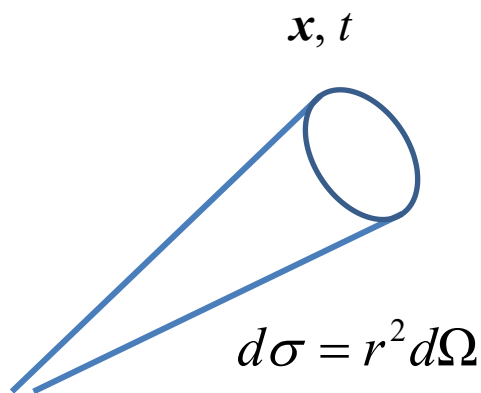
在时刻 t , P_2 处发出的辐射达到半径为 R_2 的球面

$$R_1 = c(t - t') \quad R_2 = c(t - t' - dt')$$

$$\overline{P_1 P_2} = v(t') dt'$$

电荷在 dt' 时间辐射的能量等于两球面之间的辐射场能量

辐射功率角分布 [方法一]



因为 $\mathbf{x}_q(t')$ 已知, 从 $|\mathbf{x} - \mathbf{x}_q(t')| = c(t - t')$ 可解出

$$t = t' + \frac{1}{c} |\mathbf{x} - \mathbf{x}_q(t')| \equiv t(\mathbf{x}, t')$$

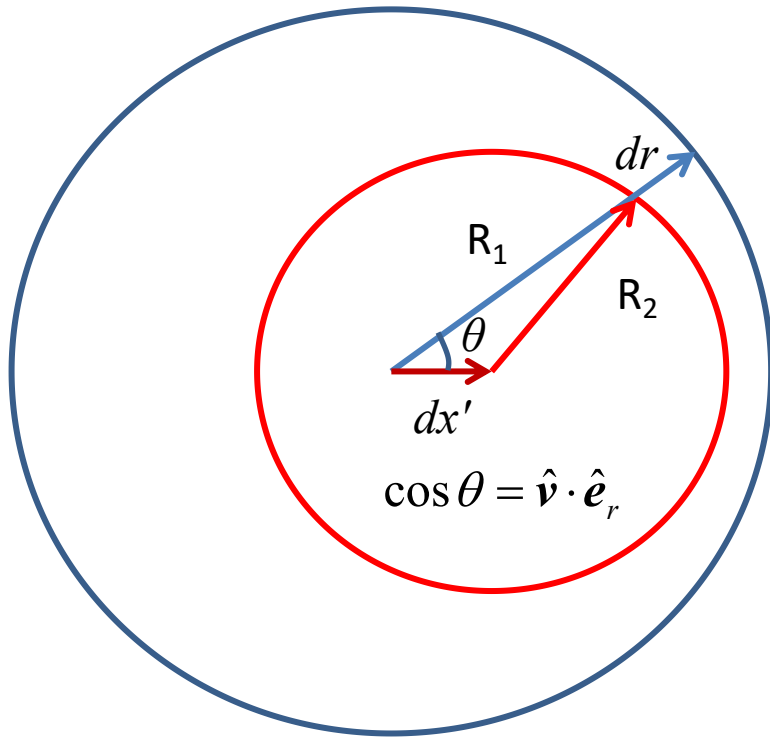
电荷在 dt' 时间产生的辐射经过 \mathbf{x} 处面元 $d\sigma$ 的时间为

$$dt = \left. \frac{\partial t}{\partial t'} \right|_x dt' = \left(\left. \frac{\partial t'}{\partial t} \right|_x \right)^{-1} dt' = (1 - \frac{1}{c} \mathbf{v} \cdot \hat{\mathbf{e}}_r) dt' \quad (26)$$

记电荷辐射功率角分布为 $P(t', \Omega)$, 即在 dt' 时间内辐射到 $d\Omega$ 立体角方向的能量为 $P(t', \Omega)dt' d\Omega$ (课本省略了变量 Ω). 电荷在 dt' 辐射到 $d\Omega$ 的能量在 $t \sim t + dt$ 通过 \mathbf{x} 处的 $d\sigma$ 面元,

$$\begin{aligned} P(t', \Omega)dt' d\Omega &= S dt d\sigma \\ &= S r^2 (1 - \frac{1}{c} \mathbf{v} \cdot \hat{\mathbf{e}}_r) dt' d\Omega = \frac{q^2}{16\pi^2 \epsilon_0 c^3} \frac{|\hat{\mathbf{e}}_r \times [(\hat{\mathbf{e}}_r - \frac{1}{c} \mathbf{v}) \times \dot{\mathbf{v}}]|^2}{(1 - \frac{1}{c} \mathbf{v} \cdot \hat{\mathbf{e}}_r)^5} dt' d\Omega \end{aligned} \quad (27)$$

辐射功率角分布[方法二]



当 $dt' \rightarrow 0$ 时, $dx' = v dt'$

设 dt' 辐射到 θ 方向的场到达 \mathbf{x} 处厚为 dr 的壳层.

$$R_1 = c(t - t') = r,$$

$$R_2 = c(t - t' - dt') = r - c dt'$$

$$R_2^2 = (R_1 - dr)^2 + dx'^2 - 2(R_1 - dr)dx' \cos \theta$$

从而 (只需比较一阶无穷小量)

$$dr = (c - v \cos \theta) dt' = c(1 - \frac{1}{c} \mathbf{v} \cdot \hat{\mathbf{e}}_r) dt'$$

在 t 时刻 \mathbf{x} 处的辐射能量密度 $w = \epsilon_0 E^2$

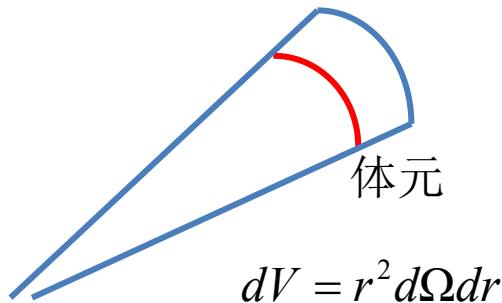
立体角 $d\Omega$ 内 dr 厚体元 dV 的辐射能量即

$$P(t', \Omega) dt' d\Omega = w dV = \epsilon_0 E^2(\mathbf{x}, t) r^2 d\Omega dr$$

$$= \epsilon_0 c E^2(\mathbf{x}, t) r^2 (1 - \frac{1}{c} \mathbf{v} \cdot \hat{\mathbf{e}}_r) dt' d\Omega$$

它等于 dt' 辐射到 $d\Omega$ 的能量.

与(27)一致



辐射功率

记电荷辐射功率为 $P(t')$.

$$P(t') = \int P(t', \Omega) d\Omega \quad (28)$$

辐射功率角分布为

$$\frac{dP(t')}{d\Omega} \equiv P(t', \Omega) = \frac{q^2}{16\pi^2 \varepsilon_0 c^3} \frac{|\hat{\mathbf{e}}_r \times [(\hat{\mathbf{e}}_r - \frac{1}{c} \mathbf{v}) \times \dot{\mathbf{v}}]|^2}{(1 - \frac{1}{c} \mathbf{v} \cdot \hat{\mathbf{e}}_r)^5} \quad (29)$$

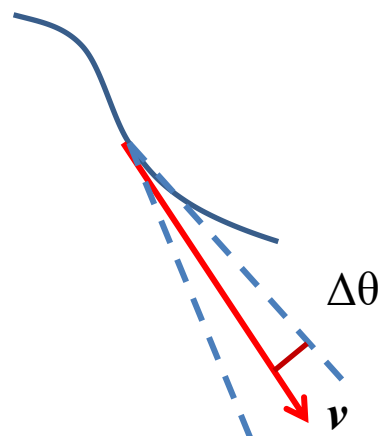
故辐射功率为

$$P(t') = \frac{q^2}{16\pi^2 \varepsilon_0 c^3} \int \frac{|\hat{\mathbf{e}}_r \times [(\hat{\mathbf{e}}_r - \frac{1}{c} \mathbf{v}) \times \dot{\mathbf{v}}]|^2}{(1 - \frac{1}{c} \mathbf{v} \cdot \hat{\mathbf{e}}_r)^5} d\Omega \quad (30)$$

高速运动: $v/c \sim 1$

$$1 - \frac{1}{c} \mathbf{v} \cdot \hat{\mathbf{e}}_r = 1 - \frac{v}{c} \cos \theta$$

当 $\theta \sim 0$ 时 $1 - \frac{1}{c} \mathbf{v} \cdot \hat{\mathbf{e}}_r \approx \frac{1}{2}(\gamma^{-2} + \theta^2)$



$$\frac{dP(t')}{d\Omega} = \frac{q^2}{16\pi^2 \epsilon_0 c^3} \frac{|\hat{\mathbf{e}}_r \times [(\hat{\mathbf{e}}_r - \frac{1}{c} \mathbf{v}) \times \dot{\mathbf{v}}]|^2}{(1 - \frac{1}{c} \mathbf{v} \cdot \hat{\mathbf{e}}_r)^5}$$

上式分母很小

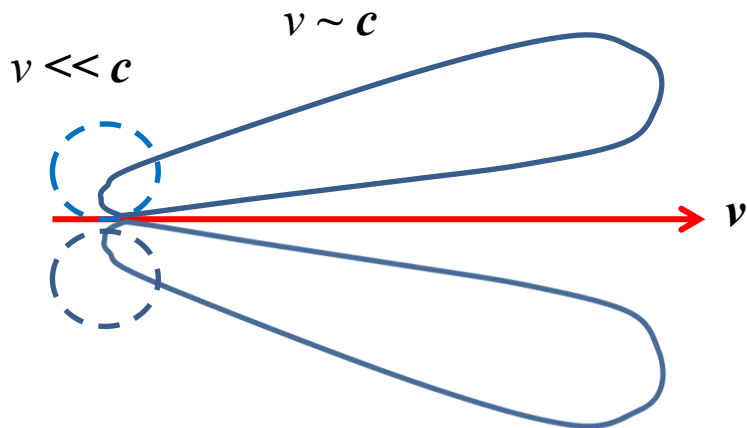
$$\frac{1}{(1 - \frac{1}{c} \mathbf{v} \cdot \hat{\mathbf{e}}_r)^5} \approx \frac{32}{(\gamma^{-2} + \theta^2)^5} \quad (31)$$

当 $\theta > \gamma^{-1}$, 辐射功率迅速减少, 从而辐射功率集中在粒子运动方向 (此因子不涉及加速度方向)

$$\Delta\theta \sim \frac{1}{\gamma} \quad (32)$$

2. 加速度平行速度情形

例如直线加速器



辐射功率角分布

$$\frac{dP(t')}{d\Omega} = \frac{q^2 \dot{\mathbf{v}}^2}{16\pi^2 \epsilon_0 c^3} \frac{\sin^2 \theta}{\left(1 - \frac{v}{c} \cos \theta\right)^5} \quad (33)$$

辐射功率

$$\begin{aligned} P(t') &= \frac{q^2 \dot{\mathbf{v}}^2}{16\pi^2 \epsilon_0 c^3} \int \frac{\sin^2 \theta}{\left(1 - \frac{v}{c} \cos \theta\right)^5} d\Omega \\ &= \frac{q^2 \dot{\mathbf{v}}^2}{6\pi \epsilon_0 c^3} \gamma^6 \end{aligned} \quad (34)$$

电荷受力（总力）

$$\begin{aligned} \mathbf{F}(t') &= \frac{d(\gamma m \mathbf{v})}{dt'} \\ &= m \frac{\dot{\mathbf{v}}(1 - (\frac{v}{c})^2) + \frac{1}{c^2} (\mathbf{v} \cdot \dot{\mathbf{v}}) \mathbf{v}}{(1 - (\frac{v}{c})^2)^{3/2}} = \gamma^3 m \dot{\mathbf{v}} \end{aligned} \quad (35)$$

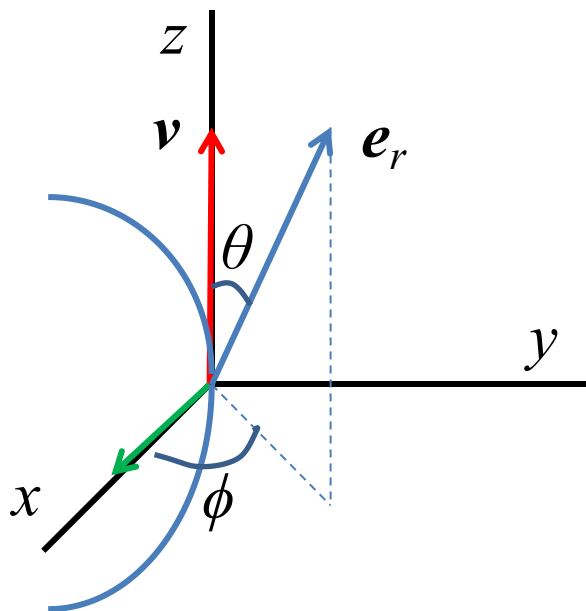
从而

$$P(t') = \frac{q^2}{6\pi\epsilon_0 m^2 c^3} F^2 \quad (36)$$

直线加速运动电荷辐射功率只与其受力有关，而与粒子能量无关，由此可产生高能粒子.

3. 加速度垂直速度情形

例如回旋加速器的同步辐射



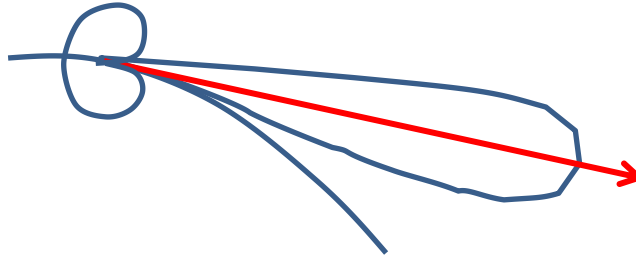
$$\mathbf{v} \cdot \hat{\mathbf{e}}_r = v \cos \theta$$

$$\dot{\mathbf{v}} \cdot \hat{\mathbf{e}}_r = \dot{v} \sin \theta \cos \phi$$

$$\dot{\mathbf{v}} \cdot \mathbf{v} = 0$$

$$\begin{aligned} \hat{\mathbf{e}}_r \times [(\hat{\mathbf{e}}_r - \frac{1}{c} \mathbf{v}) \times \dot{\mathbf{v}}] \\ = \dot{v} \sin \theta \cos \phi (\hat{\mathbf{e}}_r - \frac{1}{c} \mathbf{v}) - (1 - \frac{v}{c} \cos \theta) \dot{\mathbf{v}} \end{aligned}$$

$$\begin{aligned} |\hat{\mathbf{e}}_r \times [(\hat{\mathbf{e}}_r - \frac{1}{c} \mathbf{v}) \times \dot{\mathbf{v}}]|^2 \\ = \dot{v}^2 \left[(1 - \frac{v}{c} \cos \theta)^2 - (1 - \frac{v^2}{c^2}) \sin^2 \theta \cos^2 \phi \right] \end{aligned}$$



辐射功率角分布

$$\frac{dP(t')}{d\Omega} = \frac{q^2 \dot{v}^2}{16\pi^2 \epsilon_0 c^3} \frac{(1 - \frac{v}{c} \cos \theta)^2 - (1 - \frac{v^2}{c^2}) \sin^2 \theta \cos^2 \phi}{(1 - \frac{v}{c} \cos \theta)^5} \quad (37)$$

辐射功率

$$P(t') = \frac{q^2}{16\pi^2 \epsilon_0 c^3} \int \frac{dP(t')}{d\Omega} d\Omega = \frac{q^2 \dot{v}^2}{6\pi \epsilon_0 c^3} \gamma^4 \quad (38)$$

电荷受力（总力）

$$\mathbf{F}(t') = \frac{d(\gamma m \mathbf{v})}{dt'} = m \frac{\dot{\mathbf{v}}(1 - (\frac{v}{c})^2) + \frac{1}{c^2}(\mathbf{v} \cdot \dot{\mathbf{v}})\mathbf{v}}{(1 - (\frac{v}{c})^2)^{3/2}} = \gamma m \dot{\mathbf{v}} \quad (39)$$

辐射功率写成

$$\begin{aligned} P(t') &= \frac{q^2}{6\pi\epsilon_0 m^2 c^3} \gamma^2 F^2 \\ &= \frac{q^2}{6\pi\epsilon_0 m^4 c^7} E_q^2 F^2, \end{aligned} \quad (40)$$

电荷能量

$$E_q = \gamma m c^2. \quad (41)$$

当 F 给定后，辐射功率与电荷能量平方成正比. 当辐射功率等于输入功率时，粒子能量不能继续增加. 但由此产生的“同步辐射”是很有用的.

§ 3 辐射的频谱分析

1. 频谱分析的一般公式

傅里叶变换

$$f(t) = \int_{-\infty}^{\infty} f_{\omega} e^{-i\omega t} d\omega \quad (42)$$

$$f_{\omega} = \frac{1}{2\pi} \int_{-\infty}^{\infty} f(t) e^{i\omega t} dt \quad (43)$$

若 $f(t)$ 为实函数,

$$f_{\omega}^* = f_{-\omega} \quad (44)$$

$$\int_{-\infty}^{\infty} f^2(t) dt = 4\pi \int_0^{\infty} |f_{\omega}|^2 d\omega \quad (45)$$

例

(1) 电流密度

$$\mathbf{J}(\mathbf{x}, t) = \int_{-\infty}^{\infty} \mathbf{J}_{\omega}(\mathbf{x}) e^{-i\omega t} d\omega, \quad \mathbf{J}_{\omega}(\mathbf{x}) = \frac{1}{2\pi} \int_{-\infty}^{\infty} \mathbf{J}(\mathbf{x}, t) e^{i\omega t} dt \quad (46)$$

(2) 推迟势

$$\begin{aligned} A(\mathbf{x}, t) &= \frac{\mu_0}{4\pi} \int \frac{\mathbf{J}(\mathbf{x}', t - \frac{r}{c})}{r} dV' \\ &= \frac{\mu_0}{4\pi} \int \frac{dV'}{r} \int_{-\infty}^{\infty} \mathbf{J}_{\omega}(\mathbf{x}') e^{-i\omega t + i\omega \frac{r}{c}} d\omega \\ &= \frac{\mu_0}{4\pi} \int_{-\infty}^{\infty} e^{-i\omega t} d\omega \left[\int \frac{\mathbf{J}_{\omega}(\mathbf{x}')}{r} e^{i\omega \frac{r}{c}} dV' \right] \end{aligned} \quad (47)$$

可见

$$A_{\omega}(\mathbf{x}) = \frac{\mu_0}{4\pi} \int \frac{\mathbf{J}_{\omega}(\mathbf{x}')}{r} e^{i\omega \frac{r}{c}} dV' = \frac{\mu_0}{8\pi^2} \int e^{i\omega(t' + \frac{r}{c})} dt' \int \frac{\mathbf{J}(\mathbf{x}', t')}{r} dV' \quad (48)$$

类似可得

$$\varphi_{\omega}(\mathbf{x}) = \frac{1}{8\pi^2 \epsilon_0} \int e^{i\omega(t' + \frac{r}{c})} dt' \int \frac{\rho(\mathbf{x}', t')}{r} dV' \quad (49)$$

直接用电流密度计算势的频谱分量更方便.

一般推迟势的频谱分量公式

$$\mathbf{A}_\omega(\mathbf{x}) = \frac{\mu_0}{8\pi^2} \int e^{i\omega(t' + \frac{r}{c})} dt' \int \frac{\mathbf{J}(\mathbf{x}', t')}{r} dV', \quad (48)$$

$$\varphi_\omega(\mathbf{x}) = \frac{1}{8\pi^2 \epsilon_0} \int e^{i\omega(t' + \frac{r}{c})} dt' \int \frac{\rho(\mathbf{x}', t')}{r} dV' \quad (49)$$

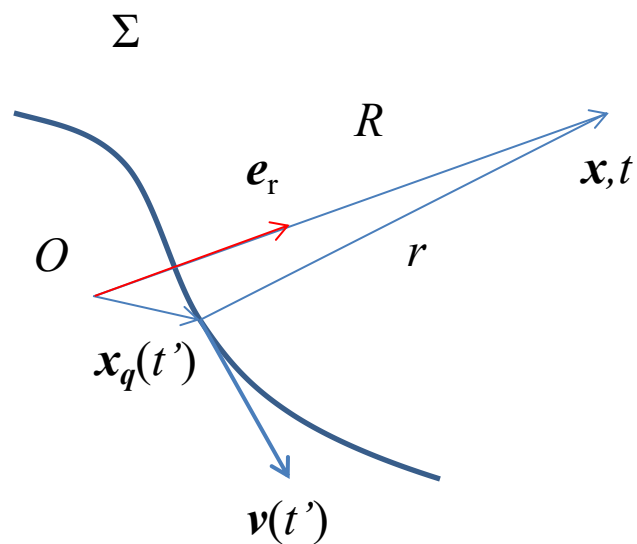
电流密度和电荷密度分别为

$$\mathbf{J}(\mathbf{x}', t') = \rho(\mathbf{x}', t') \mathbf{v}(t'), \quad (50)$$

$$\rho(\mathbf{x}', t') = q \delta(\mathbf{x}' - \mathbf{x}_q(t')) \quad (51)$$

故

$$\mathbf{A}_\omega(\mathbf{x}) = \frac{\mu_0}{8\pi^2} \int_{-\infty}^{\infty} \frac{q \mathbf{v}(t')}{r} e^{i\omega(t' + \frac{r}{c})} dt' \quad (52)$$



远场近似(如同多极矩展开)

$$r \approx R - \hat{\mathbf{e}}_r \cdot \mathbf{x}_q(t') \quad (53)$$

$$\mathbf{A}_\omega(\mathbf{x}) = \frac{\mu_0 q}{8\pi^2} \frac{e^{ikR}}{R} \int_{-\infty}^{\infty} \mathbf{v}(t') e^{i\omega(t' - \frac{1}{c} \hat{\mathbf{e}}_r \cdot \mathbf{x}_q)} dt' \quad (54)$$

其中 $k=\omega/c$, $R=|\mathbf{x}|$.

由 (54): $A_{\omega}(\mathbf{x}) = \frac{\mu_0 q}{8\pi^2} \frac{e^{ikR}}{R} \int_{-\infty}^{\infty} \mathbf{v}(t') e^{i\omega(t' - \frac{1}{c}\hat{\mathbf{e}}_r \cdot \mathbf{x}_q)} dt'$ 可得

磁场 (不用对分母求导)

$$\begin{aligned} \mathbf{B}_{\omega} &= \nabla \times \mathbf{A}_{\omega} = ik\hat{\mathbf{e}}_r \times \mathbf{A}_{\omega} \\ &= \frac{iq\omega}{8\pi^2 \varepsilon_0 c^3} \frac{e^{ikR}}{R} \int_{-\infty}^{\infty} \hat{\mathbf{e}}_r \times \mathbf{v}(t') e^{i\omega(t' - \frac{1}{c}\hat{\mathbf{e}}_r \cdot \mathbf{x}_q)} dt' \end{aligned} \quad (55)$$

电场

$$\begin{aligned} \mathbf{E}_{\omega} &= -c\hat{\mathbf{e}}_r \times \mathbf{B}_{\omega} \\ &= -\frac{iq\omega}{8\pi^2 \varepsilon_0 c^2} \frac{e^{ikR}}{R} \int_{-\infty}^{\infty} \hat{\mathbf{e}}_r \times (\hat{\mathbf{e}}_r \times \mathbf{v}) e^{i\omega(t' - \frac{1}{c}\hat{\mathbf{e}}_r \cdot \mathbf{x}_q)} dt' \end{aligned} \quad (56)$$

这两个式子和直接对辐射场 $\mathbf{E}(t)$ 和 $\mathbf{B}(t)$ 进行傅里叶变换的结果一致.

直接对辐射场 $\mathbf{E}(t)$ 进行傅里叶变换:

$$\mathbf{E}_\omega = \frac{1}{2\pi} \int_{-\infty}^{\infty} \mathbf{E}_{rad} e^{i\omega t} dt = \frac{1}{2\pi} \int_{-\infty}^{\infty} \mathbf{E}_{rad} e^{i\omega t} \partial_{t'} t dt'$$

由 $\partial_{t'} t = 1 - \frac{1}{c} \mathbf{v} \cdot \hat{\mathbf{e}}_r$ 和 $\mathbf{E}_{rad} = \frac{q}{4\pi\epsilon_0 c^2 r} \frac{\hat{\mathbf{e}}_r \times [(\hat{\mathbf{e}}_r - \frac{1}{c} \mathbf{v}) \times \dot{\mathbf{v}}]}{(1 - \frac{1}{c} \mathbf{v} \cdot \hat{\mathbf{e}}_r)^3}$ 得

$$\mathbf{E}_\omega = \frac{q}{8\pi^2 \epsilon_0 c^2} \int \frac{\hat{\mathbf{e}}_r \times [(\hat{\mathbf{e}}_r - \frac{1}{c} \mathbf{v}) \times \dot{\mathbf{v}}]}{r (1 - \frac{1}{c} \mathbf{v} \cdot \hat{\mathbf{e}}_r)^2} e^{i\omega t} dt'$$

利用 $\frac{d}{dt'} \left[\frac{\hat{\mathbf{e}}_r \times (\hat{\mathbf{e}}_r \times \mathbf{v})}{1 - \frac{1}{c} \mathbf{v} \cdot \hat{\mathbf{e}}_r} \right] = \frac{\hat{\mathbf{e}}_r \times [(\hat{\mathbf{e}}_r - \frac{1}{c} \mathbf{v}) \times \dot{\mathbf{v}}]}{(1 - \frac{1}{c} \mathbf{v} \cdot \hat{\mathbf{e}}_r)^2}$ 得

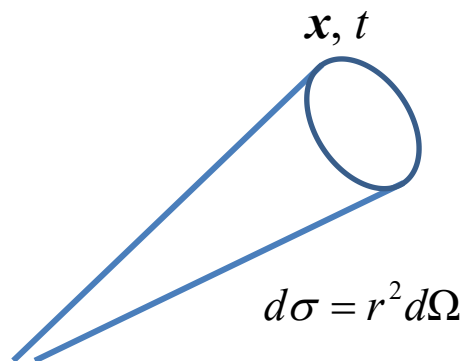
$$\mathbf{E}_\omega = \frac{q}{8\pi^2 \epsilon_0 c^2} \int \frac{e^{i\omega t}}{r} \frac{d}{dt'} \left[\frac{\hat{\mathbf{e}}_r \times (\hat{\mathbf{e}}_r \times \mathbf{v})}{1 - \frac{1}{c} \mathbf{v} \cdot \hat{\mathbf{e}}_r} \right] dt' = - \frac{q}{8\pi^2 \epsilon_0 c^2} \int \frac{\hat{\mathbf{e}}_r \times (\hat{\mathbf{e}}_r \times \mathbf{v})}{1 - \frac{1}{c} \mathbf{v} \cdot \hat{\mathbf{e}}_r} \frac{d}{dt'} \left[\frac{e^{i\omega t}}{r} \right] dt'$$

略去 $1/r^2$ 项,

$$\mathbf{E}_\omega = - \frac{iq\omega}{8\pi^2 \epsilon_0 c^2} \int \frac{\hat{\mathbf{e}}_r \times (\hat{\mathbf{e}}_r \times \mathbf{v})}{r} e^{i\omega(t' - \frac{r}{c})} dt'$$

与(56)一致

辐射能量的角分布



$$\frac{dW}{d\Omega} = \int \frac{dP}{d\Omega} dt = \int_{-\infty}^{\infty} \mathbf{S} \cdot \hat{\mathbf{e}}_r R^2 dt \quad (57)$$

代入 $\mathbf{S} = \varepsilon_0 c E^2 \hat{\mathbf{e}}_r$, 利用 $\int_{-\infty}^{\infty} f^2(t) dt = 4\pi \int_0^{\infty} |f_{\omega}|^2 d\omega$

$$\frac{dW}{d\Omega} = \varepsilon_0 c R^2 \int_{-\infty}^{\infty} E^2 dt = 4\pi \varepsilon_0 c R^2 \int_0^{\infty} |E_{\omega}|^2 d\omega \equiv \int_0^{\infty} \frac{dW_{\omega}}{d\Omega} d\omega \quad (58)$$

单位频率间隔辐射能量角分布（角频率在 ω ）

$$\frac{dW_{\omega}}{d\Omega} = 4\pi\epsilon_0 c R^2 |E_{\omega}|^2. \quad (59)$$

$$\left(\frac{dW_{\omega}}{d\Omega} = \frac{d^2W}{d\Omega d\omega} \right)$$

对 Ω 积分得单位频率间隔辐射能量

$$W_{\omega} = 4\pi\epsilon_0 c R^2 \oint |E_{\omega}|^2 d\Omega \quad (60)$$

先求 E_{ω} ，然后通过上面两式进行辐射能量的频谱分析.

电场傅里叶分量（复习）

$$\mathbf{E}_\omega = \frac{q}{8\pi^2 \varepsilon_0 c^2} \int \frac{\hat{\mathbf{e}}_r \times [(\hat{\mathbf{e}}_r - \frac{1}{c} \mathbf{v}) \times \dot{\mathbf{v}}]}{r(1 - \frac{1}{c} \mathbf{v} \cdot \hat{\mathbf{e}}_r)^2} e^{i\omega t} dt'$$

匀速运动， \mathbf{v} 为常矢量，故 $\mathbf{E}_\omega = 0$ 。

远场近似 $r \approx R - \hat{\mathbf{e}}_R \cdot \mathbf{x}_q(t')$,

$$\mathbf{E}_\omega = -\frac{iq\omega}{8\pi^2 \varepsilon_0 c^2} \frac{e^{ikR}}{R} \hat{\mathbf{e}}_R \times \left[\hat{\mathbf{e}}_R \times \int_{-\infty}^{\infty} \mathbf{v} e^{i\omega(t' - \frac{1}{c} \hat{\mathbf{e}}_R \cdot \mathbf{x}_q)} dt' \right] \quad (61)$$

周期直线运动 $\mathbf{x}_q(t') = \mathbf{x}_{q0} \cos(\omega_0 t')$

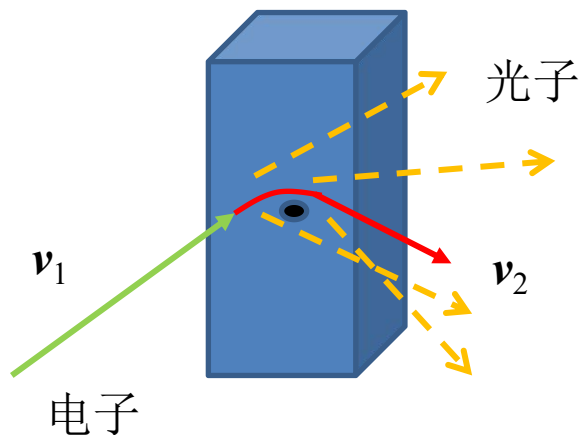
$$\mathbf{E}_\omega \approx -\frac{q\omega\omega_0}{16\pi^2 \varepsilon_0 c^2} \frac{e^{ikR}}{R} \hat{\mathbf{e}}_R \times \left[\hat{\mathbf{e}}_R \times \mathbf{x}_{q0} \int_{-\infty}^{\infty} e^{i(\omega - \omega_0)t' - i\frac{\omega}{c} \hat{\mathbf{e}}_R \cdot \mathbf{x}_{q0} \cos(\omega_0 t')} dt' \right] \quad (62)$$

低速, $\omega_0 x_{q0R} / c \ll 1$

$$\mathbf{E}_\omega \approx -\frac{q\omega\omega_0}{8\pi \varepsilon_0 c^2} \frac{e^{ikR}}{R} \hat{\mathbf{e}}_R \times (\hat{\mathbf{e}}_R \times \mathbf{x}_{q0}) \delta(\omega - \omega_0) \quad (63)$$

可见，辐射频率集中在粒子运动的频率附近。

2. 低速运动带电粒子在碰撞过程中的辐射频谱



轫致辐射, $\Delta \mathbf{v} = \mathbf{v}_2 - \mathbf{v}_1$

$$\mathbf{E}_\omega = \frac{q}{8\pi^2 \epsilon_0 c^2} \int \frac{\hat{\mathbf{e}}_r \times [(\hat{\mathbf{e}}_r - \frac{1}{c} \mathbf{v}) \times \dot{\mathbf{v}}]}{r(1 - \frac{1}{c} \mathbf{v} \cdot \hat{\mathbf{e}}_r)^2} e^{i\omega t} dt'$$

设 $v \ll c$ 。采用偶极近似

$$r \approx R - \mathbf{e}_r \cdot \mathbf{x}_q \approx R, \quad t \approx t' + \frac{1}{c}(R - \mathbf{e}_r \cdot \mathbf{x}_q) \approx t' + \frac{1}{c}R$$

$$\mathbf{E}_\omega = \frac{q}{8\pi^2 \epsilon_0 c^2} \frac{e^{ikR}}{R} \int \hat{\mathbf{e}}_r \times (\hat{\mathbf{e}}_r \times \dot{\mathbf{v}}) e^{i\omega t'} dt' \quad (64)$$

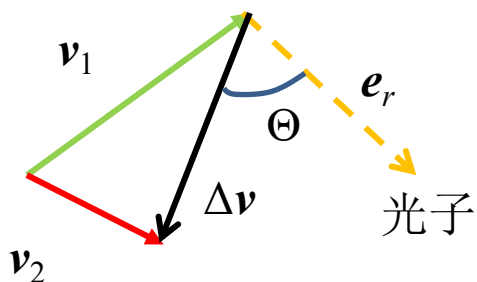
物理过程特点: $\dot{\mathbf{v}}$ 只在很短的时间 τ 内非零, 从而

(1) 若 $\omega\tau \ll 1$, 因为 $e^{i\omega t'} \sim 1$, 所以

$$\mathbf{E}_\omega \approx \frac{q}{8\pi^2 \epsilon_0 c^2} \frac{e^{ikR}}{R} \hat{\mathbf{e}}_r \times (\hat{\mathbf{e}}_r \times \Delta \mathbf{v}) \quad (65)$$

(2) 若 $\omega\tau \gg 1$, 因为 $e^{i\omega t'}$ 快速振荡, 所以

$$\mathbf{E}_\omega \approx 0 \quad (67)$$



对(1): $\omega\tau \ll 1$ 的情形,

$$\begin{aligned}
 |E_\omega| &\approx \frac{q}{8\pi^2 \epsilon_0 c^2} \frac{1}{R} |\hat{e}_r \times (\hat{e}_r \times \Delta \mathbf{v})| \\
 &= \frac{q}{8\pi^2 \epsilon_0 c^2} \frac{1}{R} |\Delta v \sin \Theta|
 \end{aligned} \tag{68}$$

单位频率间隔辐射能量角分布为

$$\frac{dW_\omega}{d\Omega} = 4\pi\epsilon_0 c R^2 |E_\omega|^2 = \frac{q^2}{16\pi^3 \epsilon_0 c^3} |\Delta v|^2 \sin^2 \Theta \tag{69}$$

单位频率间隔辐射能量

$$W_\omega = \int \frac{dW_\omega}{d\Omega} d\Omega = \frac{q^2}{6\pi^2 \epsilon_0 c^3} |\Delta v|^2 \tag{70}$$

与 ω 无关!

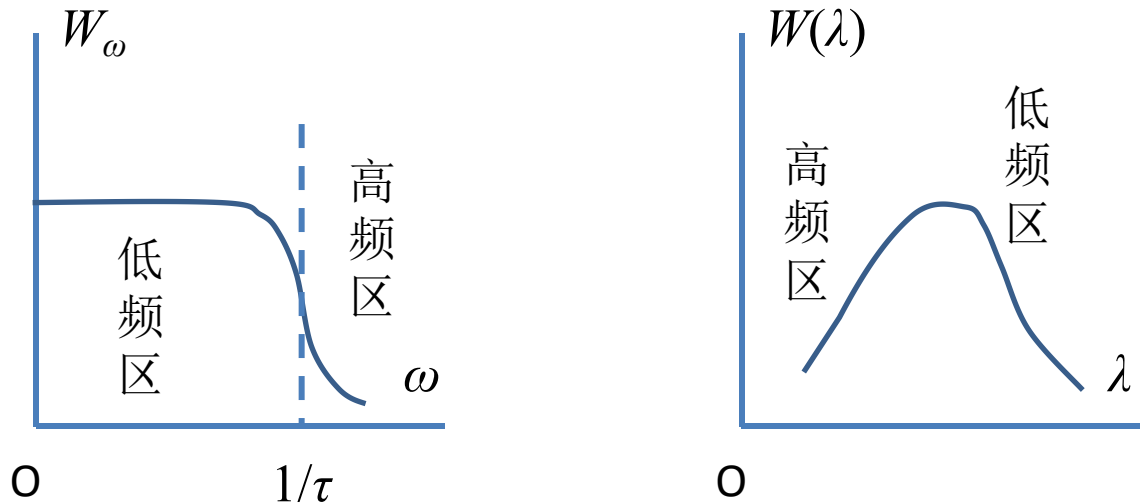
辐射能量按波长的分布

对(1): $\omega\tau \ll 1$, 有 $c\tau/\lambda \ll 1$.

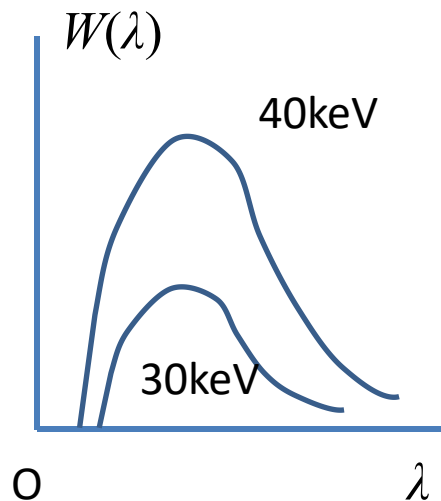
$$W(\lambda) = W_\omega \left| \frac{d\omega}{d\lambda} \right| = \frac{q^2}{3\pi\epsilon_0} \left| \frac{\Delta v}{c} \right|^2 \frac{1}{\lambda^2} \quad (71)$$

对(2): $\omega\tau \gg 1$, 有 $c\tau/\lambda \gg 1$

$$W(\lambda) = 0 \quad (72)$$



实验



短波区的截止波长是量子效应

$$E_e = \frac{1}{2} m v_1^2 = \hbar \omega_c \quad (73)$$

记光子数分布为 $N(\omega)$ 。对 $\omega\tau \ll 1$,

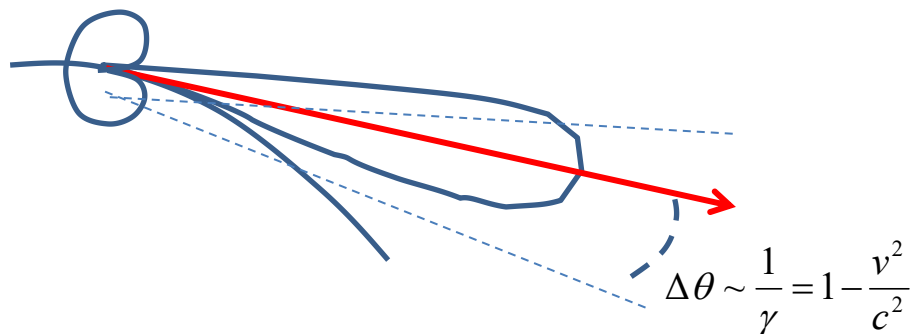
$$N(\omega)d\omega = \frac{W_\omega}{\hbar\omega} d\omega = \frac{2\alpha}{3\pi} \left(\frac{\Delta\nu}{c} \right)^2 \frac{d\omega}{\omega}, \quad (74)$$

$$\alpha = \frac{e^2}{4\pi\epsilon_0\hbar c} = \frac{1}{137.0359895(61)} \quad (75)$$

3. 高速圆周运动带电粒子的辐射频谱

加速度沿垂直速度方向

$$\frac{dP(t')}{d\Omega} = \frac{q^2 \dot{v}^2}{16\pi^2 \epsilon_0 c^3} \frac{(1 - \frac{v}{c} \cos \theta)^2 - (1 - \frac{v^2}{c^2}) \sin^2 \theta \cos^2 \phi}{(1 - \frac{v}{c} \cos \theta)^5} \quad (76)$$

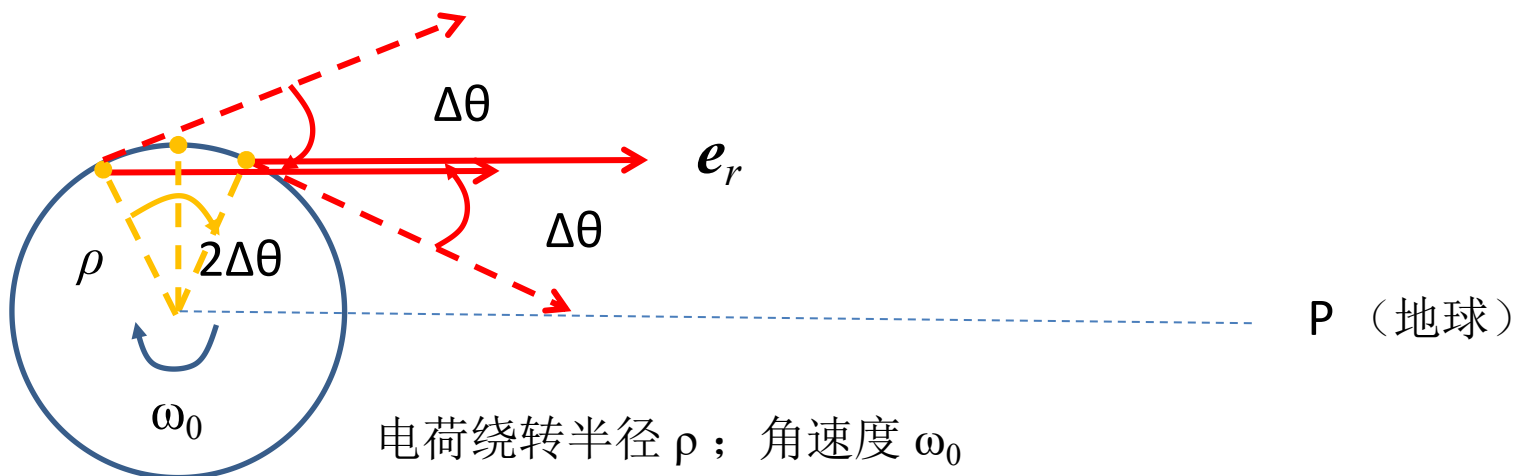


$$\frac{1}{(1 - \frac{1}{c} \mathbf{v} \cdot \hat{\mathbf{e}}_r)^5} \approx \frac{32}{(\gamma^{-2} + \theta^2)^5} \quad (77)$$

当 $v \sim c$ 时, $\Delta\theta$ 非常小

高速圆周运动的带电粒子产生的辐射像一个旋转的探照灯一样

中子星

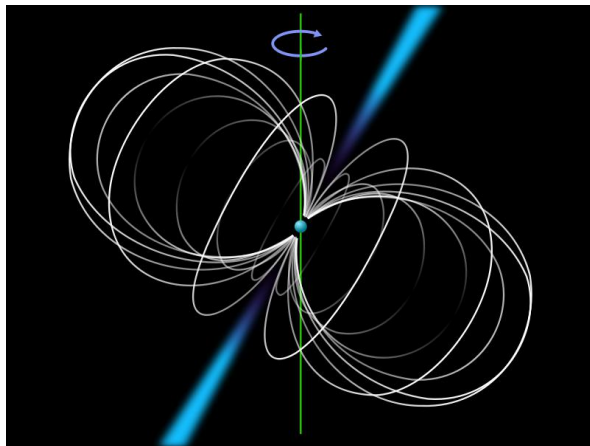
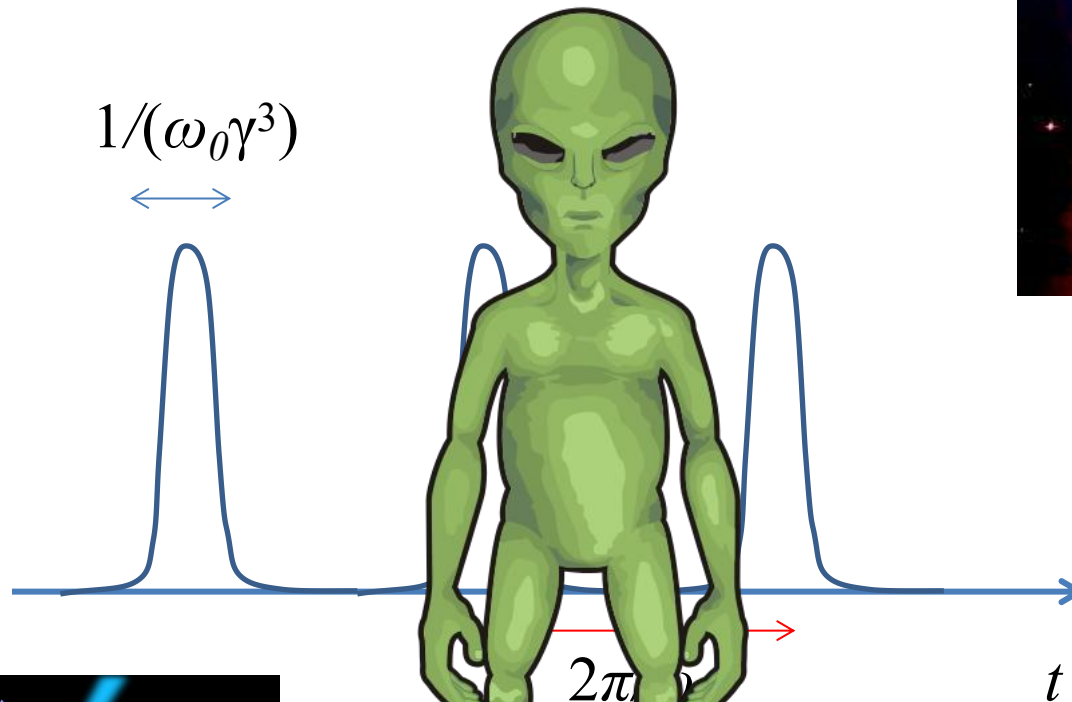
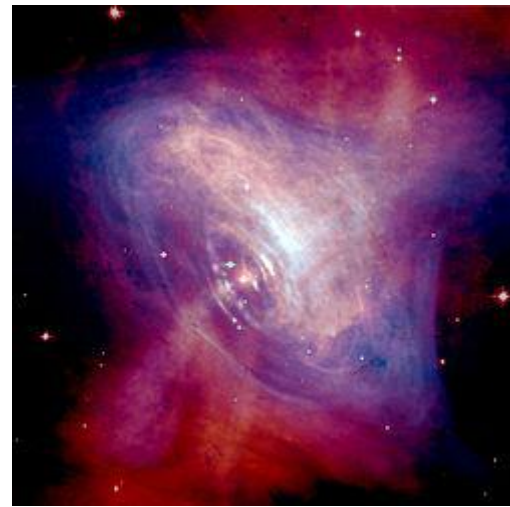


脉冲星转过角度 $\Delta\theta$ 的时间 $\Delta t' = 2\Delta\theta/\omega_0$

收到脉冲星辐射的持续时间 $dt = (dt/dt') dt'$, $\frac{dt}{dt'} = 1 - \frac{1}{c} \mathbf{v} \cdot \mathbf{e}_r$

$$\begin{aligned} \Delta t &= \int_0^{\Delta t'} \frac{dt}{dt'} dt' = \int_0^{\Delta t'} \left(1 - \frac{v}{c} \cos(\Delta\theta - \omega_0 t') \right) dt' \\ &= \Delta t' - \frac{2v}{c\omega_0} \sin \frac{\omega_0 \Delta t'}{2} \approx \left(1 - \frac{v}{c} \right) \Delta t' \approx \frac{\Delta t'}{2\gamma^2} = \frac{\Delta\theta}{\omega_0 \gamma^2} = \frac{1}{\omega_0 \gamma^3} \approx \frac{\rho}{c\gamma^3} \end{aligned}$$

$$\Delta t = \frac{1}{\omega_0 \gamma^3} \approx \frac{\rho}{c \gamma^3} \quad (78)$$

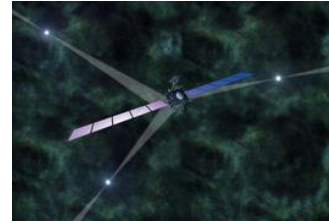


“小绿人”

1967.8 Susan Jocelyn Bell Burnell

电动力学 第七章

中国于2016年11月发射首颗脉冲星
导航试验卫星（XPNAV—1）



“中国天眼” 500米口径球面射电望远镜（FAST）



上海光源是一台高性能的中能第三代同步辐射光源，
它的英文全名为Shanghai Synchrotron Radiation
facility，简称SSRF。

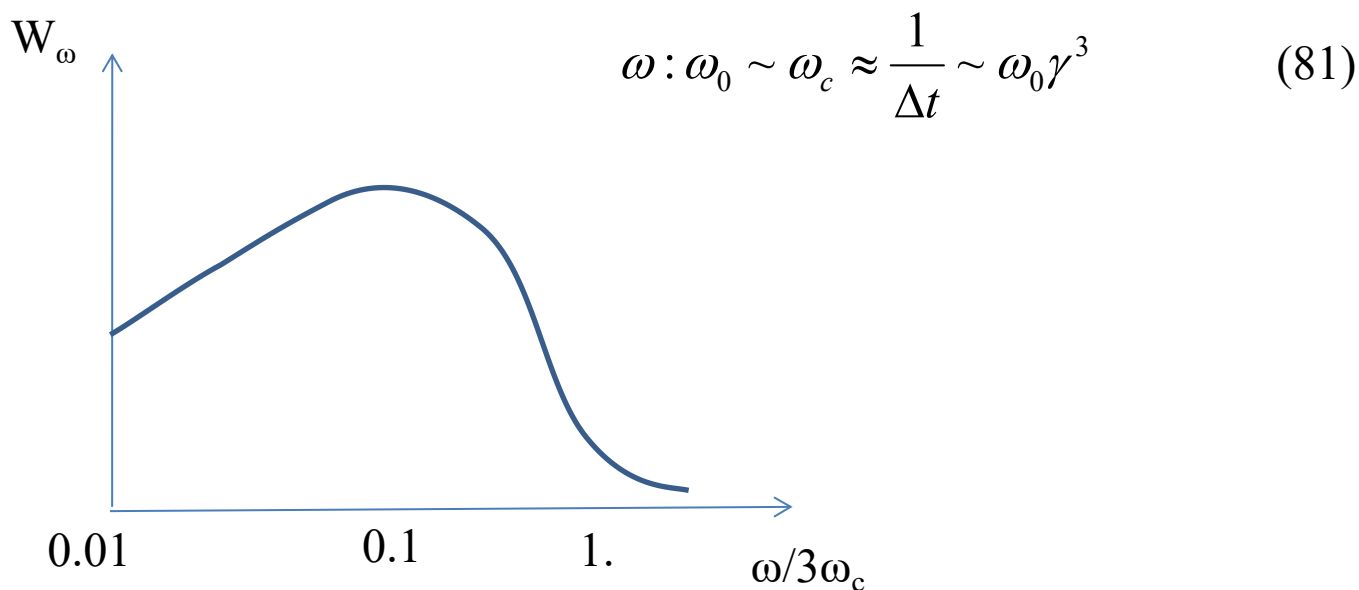
单位立体角内辐射能量

$$\frac{dW}{d\Omega} = \varepsilon_0 c R^2 \int_{-\infty}^{\infty} E^2 dt = 4\pi\varepsilon_0 c R^2 \int_0^{\infty} |E_{\omega}|^2 d\omega \equiv \int_0^{\infty} \frac{dW_{\omega}}{d\Omega} d\omega \quad (79)$$

单位频率间隔辐射能量

$$W_{\omega} = 4\pi\varepsilon_0 c R^2 \oint |E_{\omega}|^2 d\Omega \quad (80)$$

同步辐射： $E_e = 100\text{MeV}$, 轨道半径 $\rho = 0.4\text{m}$, $\omega_0 \sim 8 \times 10^8 \text{s}^{-1}$, $\gamma \sim 200$



作业

1. 证明(45)式

$$\int_{-\infty}^{\infty} f^2(t) dt = 4\pi \int_0^{\infty} |f_{\omega}|^2 d\omega$$

2. 从

$$\frac{dP(t')}{d\Omega} = \frac{q^2 \dot{v}^2}{16\pi^2 \epsilon_0 c^3} \frac{(1 - \frac{v}{c} \cos \theta)^2 - (1 - \frac{v^2}{c^2}) \sin^2 \theta \cos^2 \phi}{(1 - \frac{v}{c} \cos \theta)^5}$$

推导 $P(t')$.

3. p272第2题



附录1 推导偏导数关系

对给定的 \mathbf{x} 和 t , t_q 唯一, 因此存在函数关系 $t_q = t_q(\mathbf{x}, t)$. 对 $\mathbf{r} = \mathbf{x} - \mathbf{x}_q$ 求 t 的偏导数,

$$\left. \frac{\partial \mathbf{r}}{\partial t} \right|_x = - \left. \frac{\partial \mathbf{x}_q(t_q)}{\partial t} \right|_x = - \left. \frac{\partial t_q}{\partial t} \right|_x \frac{d\mathbf{x}_q}{dt_q} = - \left. \frac{\partial t_q}{\partial t} \right|_x \mathbf{v} \quad (\text{附1})$$

对 $r = \sqrt{(\mathbf{r} \cdot \mathbf{r})}$ 求 t 的偏导数, 利用(附1),

$$\left. \frac{\partial r}{\partial t} \right|_x = \frac{\mathbf{r}}{r} \cdot \left. \frac{\partial \mathbf{r}}{\partial t} \right|_x = - \frac{\mathbf{r} \cdot \mathbf{v}}{r} \left. \frac{\partial t_q}{\partial t} \right|_x \quad (\text{附2})$$

此外, 由 $r = c(t - t_q)$,

$$\left. \frac{\partial r}{\partial t} \right|_x = c \left(1 - \left. \frac{\partial t_q}{\partial t} \right|_x \right) \quad (\text{附3})$$

结合(附2)和(附3),

$$\frac{\partial t_q}{\partial t} = \frac{r}{r - \frac{1}{c} \mathbf{v} \cdot \mathbf{r}} = \frac{r}{s} \quad (\text{附4})$$

代回(附1)和(附2),

$$\left. \frac{\partial \mathbf{r}}{\partial t} \right|_x = - \frac{r}{s} \mathbf{v}, \quad \left. \frac{\partial r}{\partial t} \right|_x = - \frac{\mathbf{r} \cdot \mathbf{v}}{s} \quad (\text{附5})$$



对 $\mathbf{r} = \mathbf{x} - \mathbf{x}_q$ 求 x^j 的偏导数, 考虑到 \mathbf{x}_q 是 t_q 的函数,

$$\left. \frac{\partial \mathbf{r}}{\partial x^j} \right|_t = \hat{\mathbf{e}}_j - \left. \frac{\partial \mathbf{x}_q}{\partial x^j} \right|_t = \hat{\mathbf{e}}_j - \left. \frac{\partial t_q}{\partial x^j} \right|_t \dot{\mathbf{x}}_q = \hat{\mathbf{e}}_j - \left. \frac{\partial t_q}{\partial x^j} \right|_t \mathbf{v} \quad (\text{附6})$$

对 $r = \sqrt{(\mathbf{r} \cdot \mathbf{r})}$ 求 x^j 的偏导数, 利用(附6),

$$\left. \frac{\partial r}{\partial x^j} \right|_t = \frac{\mathbf{r}}{r} \cdot \left. \frac{\partial \mathbf{r}}{\partial x^j} \right|_t = \frac{r^j}{r} - \left. \frac{\partial t_q}{\partial x^j} \right|_t \frac{\mathbf{r} \cdot \mathbf{v}}{r} \quad (\text{附7})$$

此外, 由 $r = c(t - t_q)$,

$$\left. \frac{\partial r}{\partial x^j} \right|_t = -c \left. \frac{\partial t_q}{\partial x^j} \right|_t \quad (\text{附8})$$

结合(附7)和(附8),

$$\left. \frac{\partial t_q}{\partial x^j} \right|_t = -\frac{r^j}{c(r - \frac{1}{c} \mathbf{v} \cdot \mathbf{r})} = -\frac{r^j}{cs} \quad (\text{附9})$$

代回(附6)和(附8),

$$\left. \frac{\partial \mathbf{r}}{\partial x^j} \right|_t = \hat{\mathbf{e}}_j + \frac{r^j}{cs} \mathbf{v}, \quad \left. \frac{\partial r}{\partial x^j} \right|_t = \frac{r^j}{s} \quad (\text{附10})$$



附录2 电场强度

$$\mathbf{E} = -\nabla\varphi - \frac{\partial\mathbf{A}}{\partial t} \quad (\text{附11})$$

以李纳-维谢尔势代入

$$\begin{aligned} \mathbf{E} &= -\nabla\varphi - \frac{\partial\mathbf{A}}{\partial t} = -\nabla \frac{q}{4\pi\epsilon_0(r - \frac{1}{c}\mathbf{v}\cdot\mathbf{r})} - \frac{\partial}{\partial t} \frac{q\mathbf{v}}{4\pi\epsilon_0 c^2(r - \frac{1}{c}\mathbf{v}\cdot\mathbf{r})} \\ &= \frac{q}{4\pi\epsilon_0(r - \frac{1}{c}\mathbf{v}\cdot\mathbf{r})^2} \left[\nabla r - \frac{1}{c}\nabla(\mathbf{v}\cdot\mathbf{r}) + \frac{\mathbf{v}}{c^2} \left(\partial_t r - \frac{1}{c}\partial_t(\mathbf{v}\cdot\mathbf{r}) \right) - (r - \frac{1}{c}\mathbf{v}\cdot\mathbf{r}) \frac{\partial_t \mathbf{v}}{c^2} \right] \end{aligned} \quad (\text{附12})$$

应用(附4,5)式和(附9,10)式,

$$\begin{aligned} \nabla r &= \frac{\hat{\mathbf{e}}_r}{1 - \frac{1}{c}\mathbf{v}\cdot\hat{\mathbf{e}}_r}, & \nabla(\mathbf{v}\cdot\mathbf{r}) &= \mathbf{v} + \frac{\frac{1}{c}v^2\hat{\mathbf{e}}_r}{1 - \frac{1}{c}\mathbf{v}\cdot\hat{\mathbf{e}}_r} - \frac{\frac{1}{c}(\hat{\mathbf{e}}_r\cdot\dot{\mathbf{v}})\mathbf{r}}{1 - \frac{1}{c}\mathbf{v}\cdot\hat{\mathbf{e}}_r}, \\ \partial_t r &= -\frac{\mathbf{v}\cdot\hat{\mathbf{e}}_r}{1 - \frac{1}{c}\mathbf{v}\cdot\hat{\mathbf{e}}_r}, & \partial_t(\mathbf{v}\cdot\mathbf{r}) &= \frac{\mathbf{r}\cdot\dot{\mathbf{v}} - v^2}{1 - \frac{1}{c}\mathbf{v}\cdot\hat{\mathbf{e}}_r}, & \partial_t \mathbf{v} &= \frac{\dot{\mathbf{v}}}{1 - \frac{1}{c}\mathbf{v}\cdot\hat{\mathbf{e}}_r} \end{aligned} \quad (\text{附13})$$

代回(附12)式, 得到 \mathbf{E} 为非辐射电场 \mathbf{E}_c 和辐射电场 \mathbf{E}_{rad} 之和

$$\mathbf{E}_c = \frac{q}{4\pi\epsilon_0 r^2} \frac{\hat{\mathbf{e}}_r - \frac{1}{c}\mathbf{v}}{(1 - \frac{1}{c}\mathbf{v}\cdot\hat{\mathbf{e}}_r)^3 \gamma^2} \sim \frac{q}{4\pi\epsilon_0 r^2} \hat{\mathbf{e}}_r \quad (\text{附14})$$

$$\mathbf{E}_{rad} = \frac{q}{4\pi\epsilon_0 c^2 r} \frac{\hat{\mathbf{e}}_r \times [(\hat{\mathbf{e}}_r - \frac{1}{c}\mathbf{v}) \times \dot{\mathbf{v}}]}{(1 - \frac{1}{c}\mathbf{v}\cdot\hat{\mathbf{e}}_r)^3} \sim \frac{q}{4\pi\epsilon_0 c^2 r} \hat{\mathbf{e}}_r \times (\hat{\mathbf{e}}_r \times \dot{\mathbf{v}}) \quad (\text{附15})$$



附录3 磁感应强度

$$\mathbf{B} = \nabla \times \mathbf{A} \quad (\text{附16a})$$

在笛卡尔坐标中的分量形式(重复空间指标, j和k, 隐含从1到3求和)

$$B^i = \varepsilon^{ijk} \partial_j A_k \quad (\text{附16b})$$

以李纳-维谢尔势代入

$$\begin{aligned} B^i &= \varepsilon^{ijk} \partial_j \frac{qv_k}{4\pi\varepsilon_0 c^2 s} = \frac{q\varepsilon^{ijk}}{4\pi\varepsilon_0 c^2 s} \partial_j v_k - \frac{q\varepsilon^{ijk} v_k}{4\pi\varepsilon_0 c^2 s^2} \partial_j s \\ &= \frac{q\varepsilon^{ijk}}{4\pi\varepsilon_0 c^2 s} \dot{v}_k \frac{\partial t_q}{\partial x^j} - \frac{q\varepsilon^{ijk} v_k}{4\pi\varepsilon_0 c^2 s^2} \left[\frac{\partial r}{\partial x^j} - \frac{\mathbf{r}}{c} \cdot \frac{\partial \mathbf{v}}{\partial x^j} - \frac{\mathbf{v}}{c} \cdot \frac{\partial \mathbf{r}}{\partial x^j} \right] \\ &= \frac{q\varepsilon^{ijk}}{4\pi\varepsilon_0 c^2 s} \dot{v}_k \frac{\partial t_q}{\partial x^j} - \frac{q\varepsilon^{ijk} v_k}{4\pi\varepsilon_0 c^2 s^2} \left[\frac{\partial r}{\partial x^j} - \frac{\mathbf{r}}{c} \cdot \dot{\mathbf{v}} \frac{\partial t_q}{\partial x^j} - \frac{\mathbf{v}}{c} \cdot \frac{\partial \mathbf{r}}{\partial x^j} \right] \end{aligned} \quad (\text{附17})$$

其中 $s = r - \frac{1}{c} \mathbf{v} \cdot \mathbf{r}$. 应用(附9、10)式,

$$\begin{aligned} \mathbf{B} &= \frac{q\dot{\mathbf{v}} \times \mathbf{r}}{4\pi\varepsilon_0 c^3 s^2} - \frac{q}{4\pi\varepsilon_0 c^2 s^2} \left[\frac{\mathbf{r} \times \mathbf{v}}{s} + \frac{(\dot{\mathbf{v}} \cdot \mathbf{r})(\mathbf{r} \times \mathbf{v})}{c^2 s} - \frac{v^2(\mathbf{r} \times \mathbf{v})}{c^2 s} \right] \\ &= \frac{q}{4\pi\varepsilon_0 c^2 r^2} \frac{(1 - \frac{v^2}{c^2}) \mathbf{v} \times \hat{\mathbf{e}}_r}{(1 - \frac{1}{c} \mathbf{v} \cdot \hat{\mathbf{e}}_r)^3} + \frac{q}{4\pi\varepsilon_0 c^3 r} \frac{\dot{\mathbf{v}} \times \hat{\mathbf{e}}_r + \frac{1}{c} [(\dot{\mathbf{v}} \cdot \hat{\mathbf{e}}_r)(\mathbf{v} \times \hat{\mathbf{e}}_r) - (\mathbf{v} \cdot \hat{\mathbf{e}}_r)(\dot{\mathbf{v}} \times \hat{\mathbf{e}}_r)]}{(1 - \frac{1}{c} \mathbf{v} \cdot \hat{\mathbf{e}}_r)^3} \end{aligned} \quad (\text{附18})$$



\mathbf{B} 的第一项是非辐射项

$$\mathbf{B}_c = \frac{q}{4\pi\epsilon_0 c^2 r^2} \frac{(1 - \frac{v^2}{c^2}) \mathbf{v} \times \hat{\mathbf{e}}_r}{(1 - \frac{1}{c} \mathbf{v} \cdot \hat{\mathbf{e}}_r)^3} \quad (\text{附19})$$

第二项是辐射项

$$\begin{aligned} \mathbf{B}_{rad} &= \frac{q}{4\pi\epsilon_0 c^3 r} \frac{\dot{\mathbf{v}} \times \hat{\mathbf{e}}_r + \frac{1}{c} [(\dot{\mathbf{v}} \cdot \hat{\mathbf{e}}_r)(\mathbf{v} \times \hat{\mathbf{e}}_r) - (\mathbf{v} \cdot \hat{\mathbf{e}}_r)(\dot{\mathbf{v}} \times \hat{\mathbf{e}}_r)]}{(1 - \frac{1}{c} \mathbf{v} \cdot \hat{\mathbf{e}}_r)^3} \\ &= \frac{q}{4\pi\epsilon_0 c^3 r} \frac{\hat{\mathbf{e}}_r \times \hat{\mathbf{e}}_r \times (\hat{\mathbf{e}}_r \times \dot{\mathbf{v}}) + \frac{1}{c} [(\dot{\mathbf{v}} \cdot \hat{\mathbf{e}}_r)\mathbf{v} - (\mathbf{v} \cdot \hat{\mathbf{e}}_r)\dot{\mathbf{v}}] \times \hat{\mathbf{e}}_r}{(1 - \frac{1}{c} \mathbf{v} \cdot \hat{\mathbf{e}}_r)^3} \\ &= \frac{q}{4\pi\epsilon_0 c^3 r} \frac{\hat{\mathbf{e}}_r \times \hat{\mathbf{e}}_r \times (\hat{\mathbf{e}}_r \times \dot{\mathbf{v}}) - \frac{1}{c} \hat{\mathbf{e}}_r \times [\hat{\mathbf{e}}_r \times (\mathbf{v} \times \dot{\mathbf{v}})]}{(1 - \frac{1}{c} \mathbf{v} \cdot \hat{\mathbf{e}}_r)^3} \end{aligned} \quad (\text{附20})$$

与(附15)比较,

$$\mathbf{B}_{rad} = \frac{1}{c} \hat{\mathbf{e}}_r \times \mathbf{E}_{rad} \quad (\text{附21})$$

低速, $v/c \ll 1$,

$$\mathbf{B}_c \sim \frac{q}{4\pi\epsilon_0 c^2 r^2} \mathbf{v} \times \hat{\mathbf{e}}_r, \quad \mathbf{B}_{rad} \sim \frac{q}{4\pi\epsilon_0 c^3 r} \dot{\mathbf{v}} \times \hat{\mathbf{e}}_r, \quad \frac{|B_c|}{|B_{rad}|} \sim \frac{\lambda}{r} \quad (\text{附22})$$